

Niewydolność mięśnia sercowego

Analiza ultrastrukturalna wykazała nieprawidłowości w budowie morfologicznej kardiomiocytów. W licznych komórkach obserwowano zmiany w strukturze sarkomerów. Miofibryle charakteryzowały się nieregularnym przebiegiem. Cytoplazmę kardiomiocytów wypełniały licznie mitochondria i struktury wakuolarne (Fig. 1). Oprócz mitochondriów w cytoplazmie kardiomiocytów obecne były liczne krople lipidów (Fig. 2,3). W większości komórek obserwowano liczne skupiska ziaren glikogenu otoczonych błoną (Fig. 4,5,6,7). W obrębie skupisk glikogenu często obserwowano wakuole autofagalne (Fig. 8, 9, 10). Jądra kardiomiocytów charakteryzowały się nieregularnym kształtem (Fig. 11).

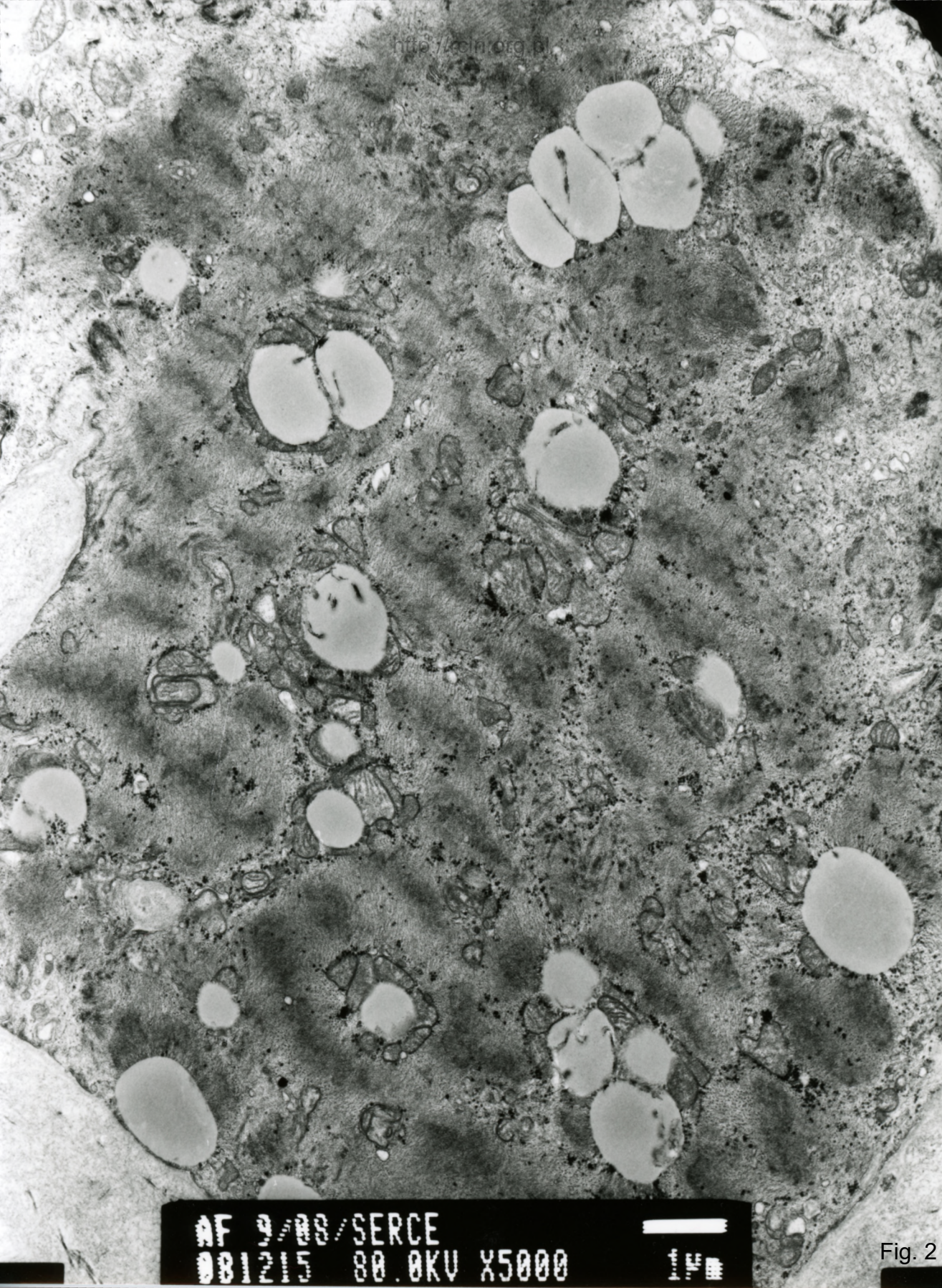
Heart failure

Ultrastructural analysis revealed abnormalities in the morphological structure of the cardiomyocytes. In many cardiomyocytes changes in the structure of the sarcomeres were observed. The course of myofibrils was irregular. The cytoplasm of cardiomyocytes was filled with numerous mitochondria and vacuolar structures (Fig. 1). Except mitochondria, numerous fat droplets were present in the cytoplasm of cardiomyocytes (Figs. 2,3). In most cells, frequently clusters of membrane-surrounded glycogen granules were seen (Figs. 4,5,6,7). Within glycogen clusters, autophagous vacuoles were often observed (Figs. 8, 9, 10). Cardiomyocytes nuclei were irregularly shaped (Fig. 11).

AF 9/88/SERCE/
BBB735 80.0KV X7500

1μm

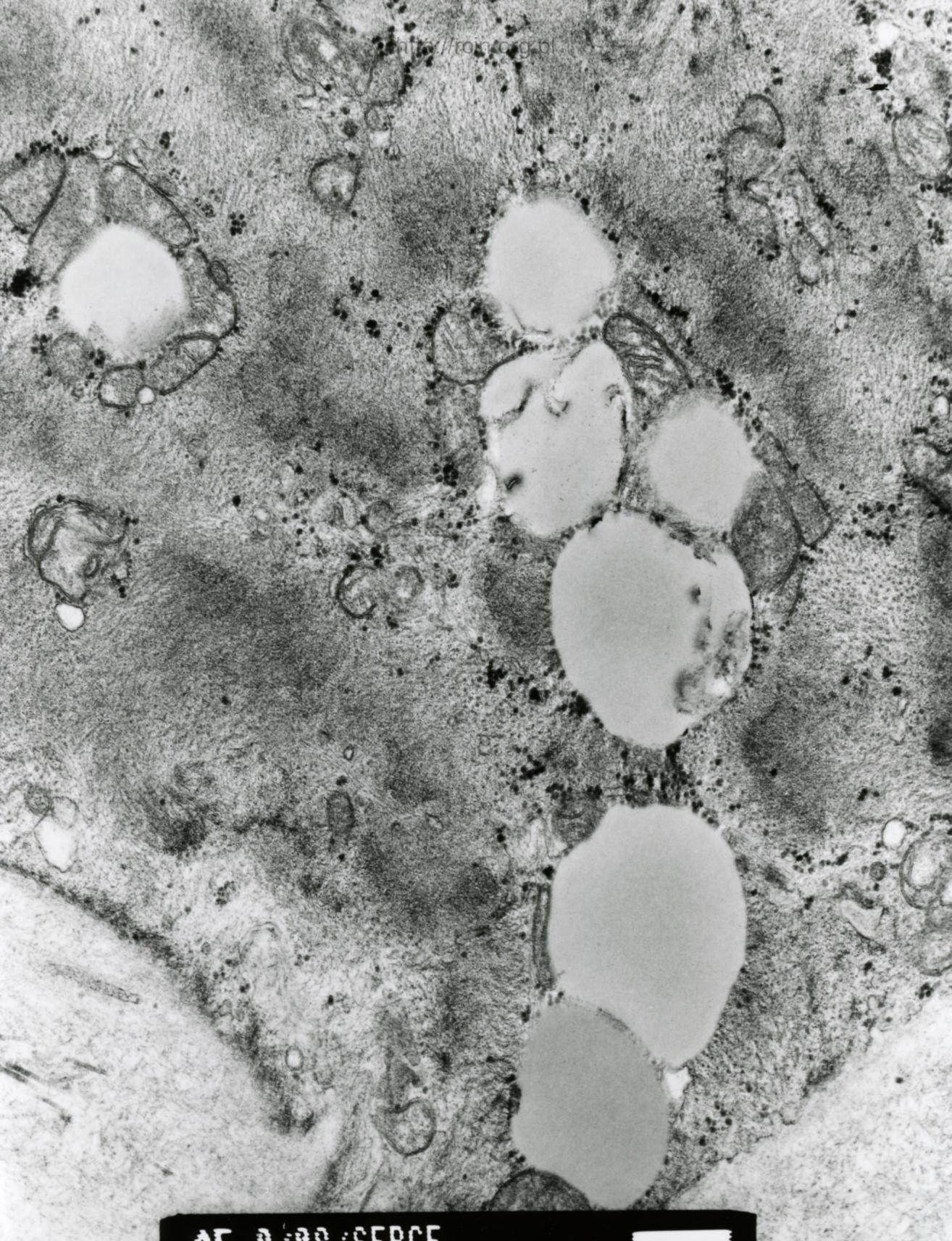
Fig. 1



AF 9/88/SERCE
DB1215 80.0KV X5000

1μm

Fig. 2



AF 9/88/SERCE
081216 80.0KV X12K 500nm

Fig. 3



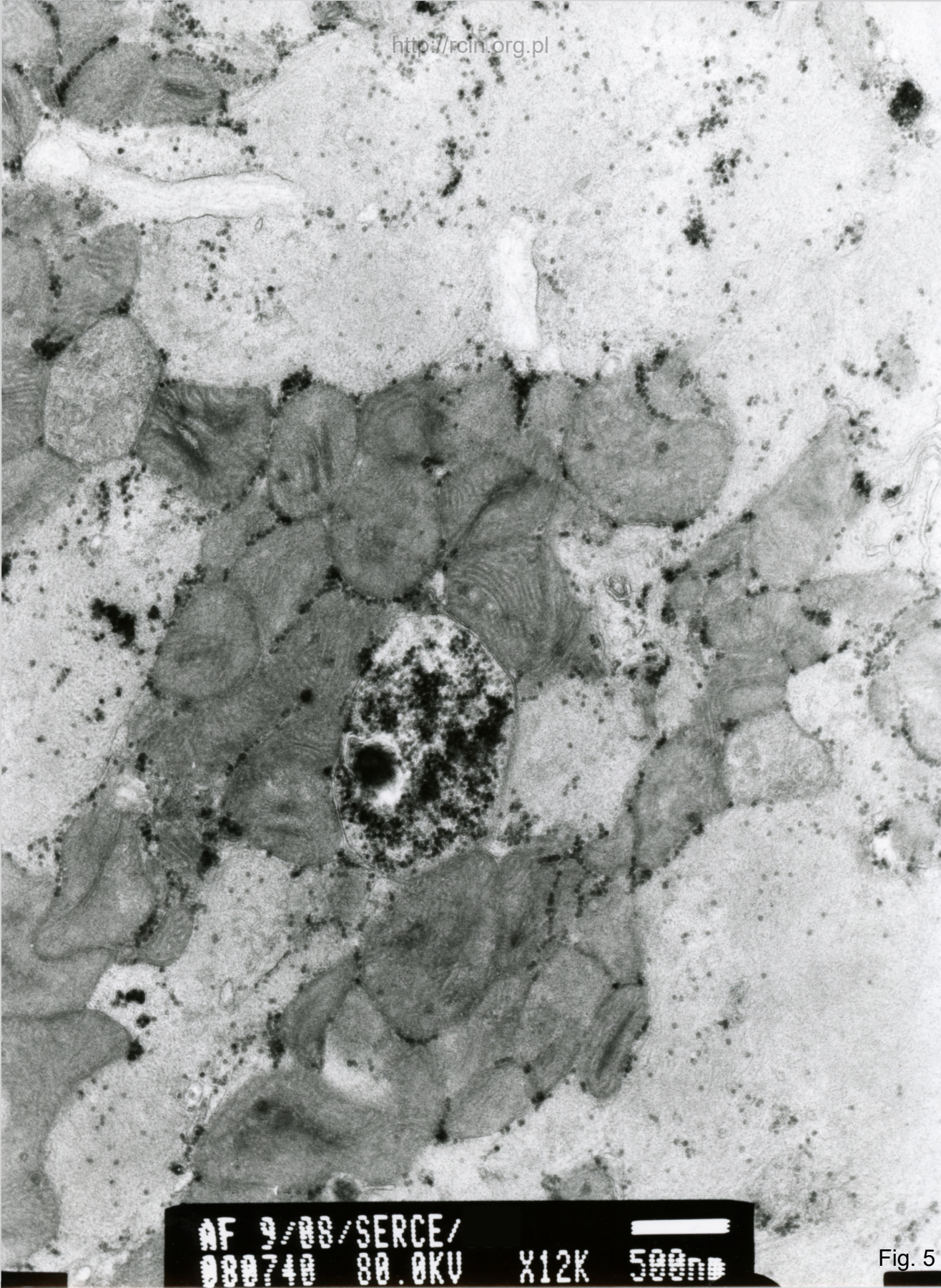
AF 9/88/

881855 RA AKU

X12K

500nm

Fig. 4



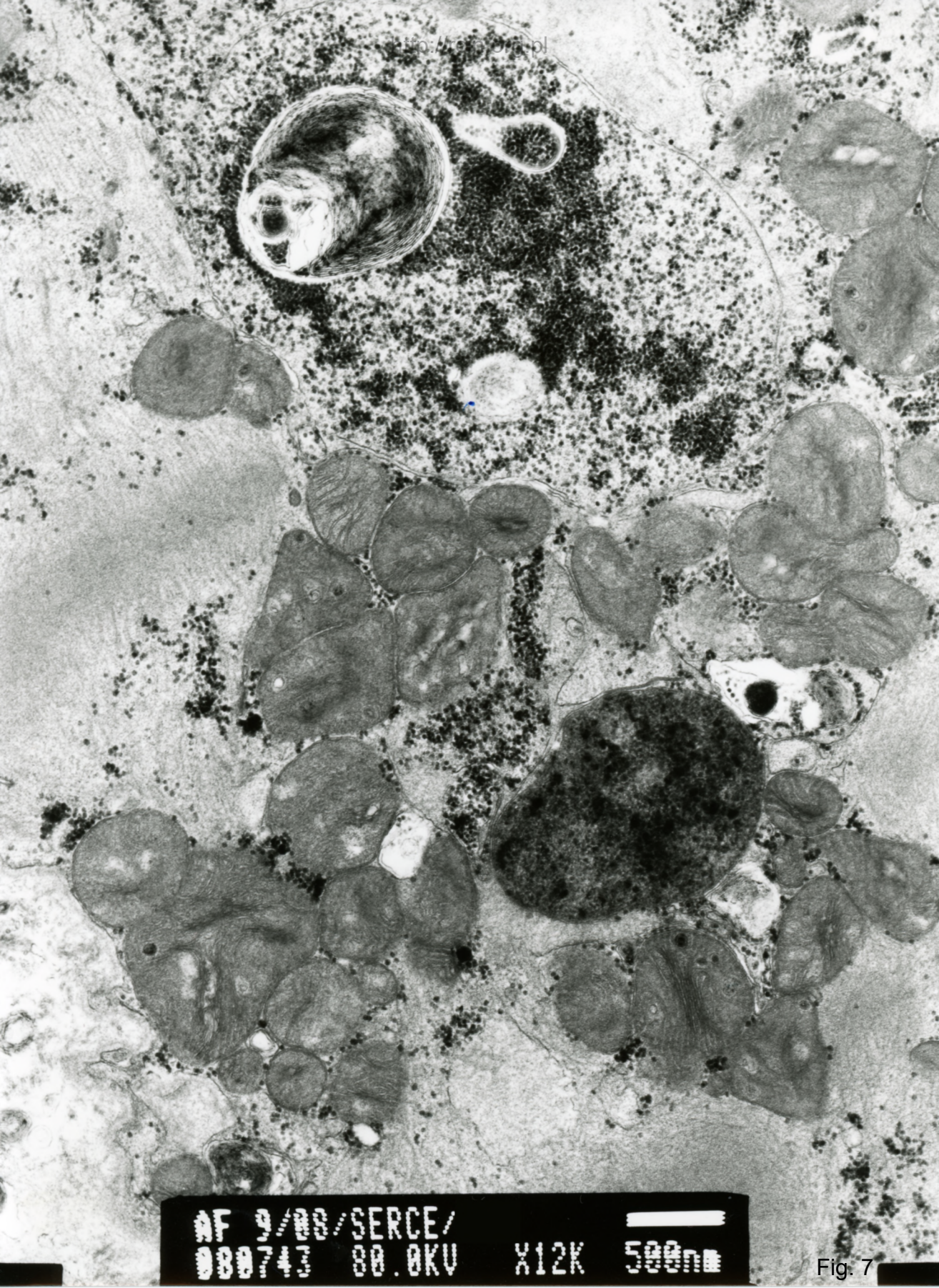
AF 9/88/SERCE/
080748 80.0KV

x12K 500nm

Fig. 5

AF 3/88/
AR1857 RR AKU X15K 500 μ

Fig. 6



AF 9/88/SERCE/
080743 80.0KV X12K 500nm

Fig. 7



AF 9/88/
BR1856 RR AKU X20K 200 μ

Fig. 8

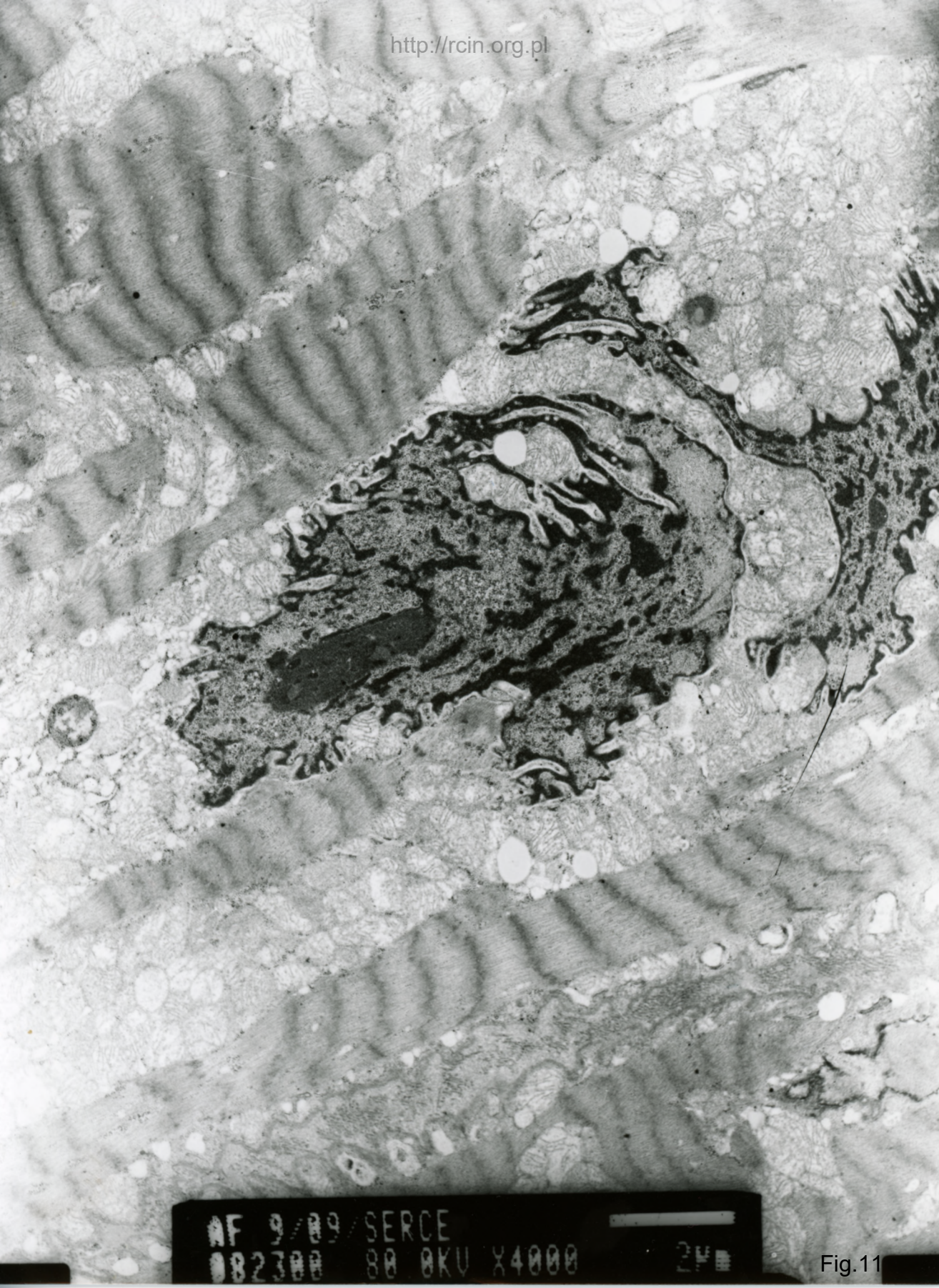


AF 9/88/
801857 80 AKU X15K 5000-

Fig. 9

AF 9/88/SERCE/
088742 80.0KV X15K 500nm

Fig.10



AF 9/89/SERCE
DB2388 88 8KV X4000

24

Fig.11